

放射性輻射綫 在紡紗生產中的應用

A. Г. 謝瓦斯契楊諾夫著

丁樹桂 端木賢 譯

紡織工業出版社

目 錄

第一章 用放射性方法測量紡紗产品的厚度	(3)
1. 測定方法的實質及其理論依據.....	(3)
2. 測定条子厚度及不勻率的仪器 (ОНД)	(15)
3. 清棉机与梳棉机的喂入調節器.....	(17)
4. 牵伸机构的牽伸調節器.....	(20)
第二章 采用放射性照相法研究紡紗中各道产品 的結構	(24)
1. 照相法的實質及理論依據.....	(24)
2. 測定纖維的伸直度与定向.....	(30)
3. 測定纖維之間的接触点数与接触纖維的数量.....	(32)
4. 确定纖維在細紗中的分佈情况.....	(36)
第三章 应用放射性同位素作为指示器	(38)
1. 确定在牵伸机构中纖維的运动規律.....	(38)
2. 研究纖維在梳理机上运动的情况.....	(48)
3. 确定纖維的混合效果.....	(50)
文献.....	(51)

作者的話

作者在本書內，力圖把現有文献中有关应用放射性輻射線
进行紡紗生产的檢查、調正与研究的材料加以綜合和系統化，
并指出某些更加广泛应用这一方法的可能性。同时，作者也認
为不需要叙述核子輻射的物理学原理以及使用放射性同位素的
方法。因为，这方面的資料，讀者可在有关的专业書籍中查到（見
文献索引）。

作者謹向 M. B. 涅依曼教授和技术科学候补博士 K. D.
皮斯曼尼克表示感謝，感謝他們对这篇論文給予的帮助。

第一章

用放射性方法測量紡紗产品的厚度

1. 测定方法的实质及其理論依据

紡紗中的各种产品（棉条、粗紗、細紗）不外乎是紡織纖維在形状与强力等方面具有一定特性的机械性結合物。这些产品都具有連續不断的長度及圓形的橫截面。只有棉紡生产中的棉卷和小棉卷及亞麻紡紗中的麻条呈長方形的截面。

具有一定伸直度及沿产品定向的纖維，与其它纖維并非在全部長度上，而只是在个别一些点上接触。由于纖維的柔韧性較大以及产品结构具有的多孔空間性，就使它在受到横向压力时，会产生很大的变形。产品的这种易于变形、复杂的截面形状以及它的結構特点，均給采用接触法确定它的厚度（粗細）带来極大的困难。

所以，紡紗产品的厚度（粗細）一般都用支数或單位重量，即产品的單位長度重量来表示。产品厚度（粗細）的不匀率或条干不匀率也以同一产品等長片段的重量不匀率来确定。

应用放射性方法来测定紡紗中各种产品的厚度及条干不匀率，就能加速这一工序。大家都知道，放射性测定法目前已用到测定鋼材、紙、軟片及其它材料的厚度方面[1]。但是，由于上述各种紡紗产品的形状、结构的特殊，就要求应用放射性方法测定厚度（粗細）时，在結構形式方面作一些改变。

下面談談采用放射性法测定厚度（粗細）的原理。这一方法是以吸收放射性同位素輻射出的 β -粒子或 γ -量子为基础的。假定从放射源 2 射出的 β -粒子經過待测体 1 (圖 1) 达到檢測器 (接受器) 3，放射性輻射 (放射綫) 通过时，就形成

吸收过程。根据 [2] β -粒子的吸收情况，可用下列經驗公式表示：

$$N = N_0 e^{-\mu a} \quad (1)$$

N ——經過厚度为 a 厘米的吸收体后，达到檢測器的 β -粒子数量。

N_0 ——沒有吸收体时，达到檢測器的 β -粒子数量。

μ ——吸收系数(厘米^{-1})，表示通过該吸收体單位長度时，吸收 β -粒子的数量。

研究表明，吸收系数由 β -粒子的能量与物质密度 ρ 才决定。 β -粒子的散射效应引起吸收程度的差別，而这是由吸收体的尺寸与形状，以及辐射源、吸收体及檢測器的相互配置情况决定的。

指数函数(圖 2 的曲綫 1)在厚度 a 不超过平均值的范围内能完滿地与吸收 β -粒子的經驗曲綫相重合(曲綫 2)。但，如果厚度数值很大或很小，就会显著脱离指数規律。

β -粒子流通过横截面为 S 厘米 2 的物体部分的质量 M 等于：

$$M = a S \rho \quad (2)$$

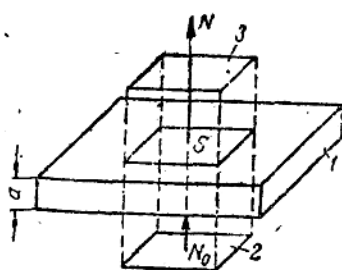


图 1 测定物体的厚度簡图

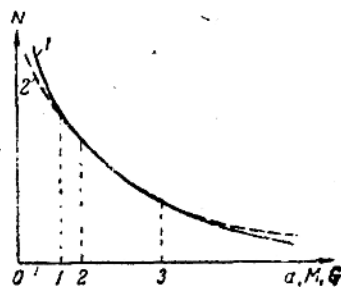


图 2 吸收 β -粒子流的曲綫

ρ ——物質密度(克/厘米³)。

从式(2)求得 a 值后，代入式(1)，可得

$$N = N_0 e^{-\frac{\mu}{\rho} \cdot \frac{M}{s}} \quad (3)$$

在較广的 P 值范围内，对物质进行的试验表明，吸收系数 μ 与密度 ρ 的比例，几乎与吸收体的性质无关，即 $\frac{\mu}{\rho}$ 接近常数。

这一比例称为质量吸收系数，并具有单位厘米² 克⁻¹。 $\frac{M}{s}$ 比例是吸收体的表面密度 克/厘米²。用 m' 表示这一比例，公式(3)即可化为下式：

$$N = N_0 e^{-\frac{\mu}{\rho} \cdot m'} \quad (4)$$

由此可見，只要辐射源的强度不变，则射到检测器的 β -粒子数量或辐射流的强度，仅由吸收体单位面积的质量来决定。这个质量越大，进入检测器的 β -粒子越少(见图2)。测得这部分粒子流，并应用公式(4)就可计算出纸、软片等的厚度。但是在测定纺纱产品的厚度及条干不匀率时，就必须知道产品的单位长度重量。为此，必须使条子通过专门的成形机构(图3)。因为它的横截面形状复杂，条子在这一机构里，稍有变形，并具有一定的宽度 b 与高度 h (图4)。 β -粒子所通过的条子片段长度 l (图3)始终不变。这时，等式(3)化为：

$$N = N_0 e^{-\frac{\mu}{\rho} \cdot \frac{M}{bl}} = N_0 e^{-\frac{\mu}{\rho} \cdot \frac{G}{bh}} = N_0 e^{-KG} \quad (5)$$

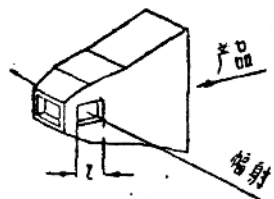


图3 条子成形机构

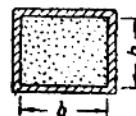


图4 条子在成形机构中的横截面形状

G' ——条子片段長度 l 的重量；

G ——条子的單位長度重量；

g ——重力加速度。

$$K = \frac{\mu}{gb\rho}$$

等式(5)表明，随着条子的單位長度重量的增加，通过該条子达到檢測器的 β -粒子数量便減少(見圖2)。应用專門仪器測量 β -粒子流，就可按等式(5)确定条子的單位長度重量，从而也就可求得它的厚度。

应用成形机构，就能够能在規定的条子片段長度內得到一定的橫截面形状。圖5示条子截面在进入成形机构以前及在其內部的形状(条子上部未受到任何限制)。条子在成形机构里的变形与它的多孔空間結構；是形成条子質量在机构整個寬度內分佈不均匀的原因。可見，这种情况会引起輻射到檢測器的射綫强度与通过質量相等、分佈均匀的条子后，达到檢測器的強度不同。假如質量數值的波动范围很小(圖2中从1到2)，則 β -粒子的吸收規律可視為直線性的，且条子在整个机构寬度內的重量不均匀，只能使該条子的片段重量的测定形成很小的誤差。这时， β -粒子在質量較大的片段A处吸收較多(見圖5)，并且与在質量較小的片段B处，吸收較少的 β -粒子相互补偿。因而，射到檢測器的輻射綫是与条子重量在整个机构寬度中均匀分佈时相符合的。假如条子的質量在机构整個寬度範圍內波动很大(圖2从1到3)，則应利用吸收指數定律，且上述的补偿作用不会产生。質量相同、不勻率不等的条子，在机构整个寬度內分佈时，会引起 β -粒子非等量的吸收，使得在测定該片段的条子厚度(粗細)时，形成显著的誤差。可以認為，在成形机构里，如条子上方受到限制，则这个質量的波动就不会大，且測定厚度(粗細)时的誤差也不可能大。

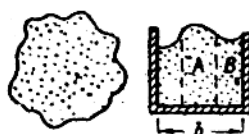


图 5 棉条在进入成形机构以前及其在机构中的横截面形状(条子上部未受任何限制)

透过产品的放射性辐射綫可用积分电离室进行测定[3]。这个仪器在充分精确地测量高强度的辐射綫时,使用期限很長,而且时间参变数的稳定性很高。这个仪器的作用原理是以放射性辐射具有使气体电离的能力为依据的。

图 6 为电离室的示意圖。电离室 1 是充有空气的容电器,它的电極可由电源 2 得到恒压。 β -粒子在电極之間运动时,就在气体中形成离子。阳离子趋向阴極,而阴离子趋向阳極。結果,在外部电路內产生电流,該电流可用灵敏的电气测量仪器测量。电流方向用箭头表示,电流的大小由射到电离室的辐射强度 N 及容电器的电位差 U 决定。

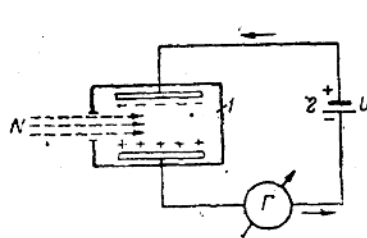


图 6 电离室简图

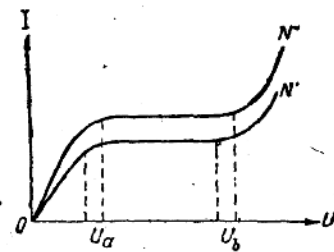


图 7 电离室的伏安特性曲线

图 7 所示为电离室伏安特性曲綫,即电压与电离电流的关系。曲綫 N'' 相当于較 N' 更大的辐射强度。如果电压很小,电

离室内所产生的离子的一部分复合起来而不能到达电极，也不能参与形成电流。随着电压的提高（从 0 到 U_s ），复合部分的离子逐渐减少而电离电流则增加。电压从 U_s 增到 U_b 时，电离电流不再变化（饱和电流），因为在电离室内产生的全部离子都达到了电离室的电极。电压如果继续增加($>U_b$)，便会因电子与离子对中性分子的急速打击作用，而产生第二次电离过程，引起电流强度的急剧增长。饱和电流强度可按下式确定：

$$I_{\text{饱和}} = qn_0HS \quad (6)$$

q ——电子电荷；

n_0 ——在电离室的单位体积内，在单位时间中，因放射性辐射的作用产生的离子对数量；

H ——电离室电极间的距离；

S ——电极的面积。

只要测量出饱和电离电流，就可确定电离效果，以及放射性辐射的强度。测量物体的厚度期间，电离室始终有电压，电压值相当于饱和电离电流的工作段，即始终具有从 U_s 到 U_b 的电压。电离室产生的电流强度一般为 $10^{-15} \sim 10^{-9}$ 安培。对这样弱的电流，可用电子管电路——即电测放大器进行测量。

测定厚度时，可采用一个或两个电离室。如采用一个测定厚度，可通过与标准比较的方法或测定绝对厚度的方法来进行。但在厚度差很大的范围内测定连续运动的纱产品，第一种方法显然是不适合的，因为，需要不断地调换标准。采用第二种方法时，需要系统地检查仪器指示的准确性，并定期改变测量器刻度的分度，因为电流强度会随着放射性同位素衰变的程度而变化。而且电离室虽是密封的，但大气压力仍会影响对电离电流的强度。

为消除这些缺点，在测定纱各产品厚度时，采用两个电

离室(圖8)：工作电离室1及补偿电离室2，两者都接入补偿系统的电路中。采用这种方法时，要通过比較两个辐射流的方法来测量。两辐射流是： N_1 ——通过产品的辐射流； N_2 ——直接射到电离室2的补偿辐射流。附加的辐射源4可用测微螺旋5来移动，借以改变射向补偿电离室2的 β -辐射的强度。同时在两个电离室内产生两个方向不同的电离电流(i_b ——在工作电离室内， i_h ——在补偿电离室内)。这时，在连接电离室电极的电路内，又产生一个电流，它的值等于工作电离室与补偿电离室两电流之差，即

$$\Delta i = i_h - i_b = i_h - CN_0 e^{-kG} \quad (7)$$

C ——系数，它决定于电离室的电离比度、 β -粒子在室内轨道的平均長度及室内的气体压力。这个数值对该电离室是固定不变的。

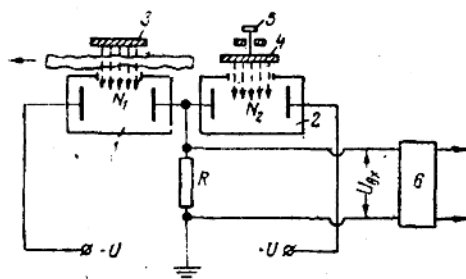


图8 两个电离室的补偿线路

如果改变补偿电离室的辐射强度(旋转螺旋5)，就可在室内产生电离电流，它将等于待测产品的单位長度重量为 G_0 时，(公称重量)工作电离室的电流。即

$$i_h = CN_0 e^{-kG_0} \quad (8)$$

这时，电离室的电流将得到平衡，差值 Δi 便等于零。随后，如测定产品的另一处，其单位長度的重量为 G ，則电流發生不平衡，这时的差值将为：

$$\Delta i = CN_0(e^{-kG_0} - e^{-kG}) = CN_0e^{-kG_0}(1 - e^{-k\Delta G}) \quad (9)$$

测定仪在工作中，等式(9)右部的所有參变数，除待測产品的單位長度重量 G 或 G 与公称重量 G_0 之間的差值 ΔG 以外，其他都是常数。后一数值，在测定中，可假定为計算的起点，并由测微螺旋位置来确定。在电测放大器 6 輸入端的电压正比于輸入电阻 R 与电流差 Δi ，即

$$U_{BX} = R \times \Delta i \quad (10)$$

因此，产品的單位長度重量 G 或待測片段的重量与公称重量之間的差 ΔG 越大，则放大器輸入端的电压越高。使用一个电离室測定时，該电压会随着产品厚度的增加而降低。

因此可知，使用两电离室測定厚度（粗細）时，具有下列优点：

(1) 显著地減少因测量系統部件的工作不稳定而引起的測定誤差。

(2) 显著地降低因大气压及电离室电極上的电压变化而对测量精确度产生的影响。

(3) 簡化了測定厚度时，对测量仪器的調正工作，可不从零点（絕對測定点）而从假定数值开始。

所以在苏联，測定厚度（粗細）都采用两个按补偿电路工作的电离室[4]。

应用放射性方法測定厚度（粗細）时，正确选择辐射源及其强度有很大的意义。同时力求辐射源能具有尽可能大的半衰变期，不致有 γ -辐射或使它尽可能小，以及保証在电离室内能产生最强大的电流。辐射綫作用到电离室时，引起的电离电流

可按下式計算：

$$i = \eta \bar{H} q I_0 \omega \times 3.7 \times 10^7 \quad (11)$$

i ——电流强度（安培）；

η ——电离比度，即在1厘米的粒子流軌道上形成的离子数量；

\bar{H} ——在电离室内 β -粒子軌道的平均長度（厘米）；

q ——电子的电荷；

I_0 ——辐射源强度（毫居里 mCi）；

ω ——系数，标志测定辐射源强度的几何条件；

3.7×10^7 ——强度1毫居里的射源，一秒鐘放出的粒子数量。

辐射綫透过待測产品后，射到电离室时产生的电离电流强度等于：

$$i_p = i e^{-\frac{\mu}{\rho} \cdot m} = \eta \bar{H} q \omega \times 3.7 \times 10^7 \times I_0 e^{-\frac{\mu}{\rho} \cdot m} \quad (12)$$

从公式可看到，电离电流的强度与电离比度成正比。但电离比度与 β -辐射的最大强度成反比。所以放射源如果能具有最小的 β -辐射强度，便可得到最强的电流。

选择辐射体时，还須考慮到測定紡紗产品厚度（粗細）时引起的誤差。这种誤差可由两个互不相关的原因引起：測量 β -粒子所用的仪器不完善以及与放射性衰变統計性質相联系的該电流值的漲落。測定厚度（粗細）时，产生誤差諸原因之一的主要数值要决定于电流强度的測定法、电流强度值与測定时间的長短。

A.M. 巴加切夫、B.I. 維尔霍夫斯基与 A.H. 馬卡洛夫 [5] 制定了測定厚度（粗細）的辐射能量与辐射源强度的計算法，而且能取得既定的精确度。它表明，測定厚度时的絕對誤差可按下式确定：

$$\Delta a = \frac{e^{0.5\mu a}}{\mu \sqrt{N_0 t \varepsilon}} \quad (13)$$

t ——测定的时间;

ε ——辐射记录效率，即检测器所记录的 β -粒子数量与射到检测器的 β -粒子数量的比。

分析等式(13)表明，在 β -粒子数量 N_0 不变时，如果

$$\mu a = \frac{\mu}{\rho} m = 2$$

则可得到最小的误差 Δa 。

如果待测吸收体的表面密度范围是已知值，就可按通晓的
经验公式[6]测得辐射源的最大能量(在 $E_{max} > 0.5$ 兆电子伏):

$$E_{max} = \frac{22 \rho}{\mu} \quad (14)$$

K. Д. 皮斯曼尼克的研究与计算[9a]表明，测定棉条厚度(粗细)时，其最大表面密度为 80 毫克/厘米² [成形机构的尺寸与条子不均匀率测定仪(ОНЛ仪器)相同]，放射性同位素铯-204 就能满足上述要求； β -粒子的最大能量为 0.8 兆电子伏；半衰期为 3 年 7 个月。测定棉卷时，应用同位素锶-90，它的半衰期为 28 年， β -粒子的最大能量为 0.61 兆电子伏。

假如辐射源的强度为已知值， β -粒子按角度作各向同性分布，则在 β -粒子流中的 β -粒子数量将等于：

$$N_0 = 3.7 \times 10^7 \times g I_0 \times \frac{Q}{4\pi} \quad (15)$$

g ——一次衰变的 β -粒子数量；

Q ——从辐射源看到辐射接收器的立体角。

从等式[13]与[15]中不难求得：

$$I_0 = 3.39 \times 10^{-7} \frac{e^{-\mu a}}{\mu^2 (\Delta a)^2 t \log Q} \quad (16)$$

测定厚度时，先规定均方误差值并取 a 值等于误差最大时

的厚度（在規定的厚度範圍內），这时就可按等式（16）确定所需的辐射源强度。

选择辐射源强度的值时，必須考慮到下面的情况：根据公式（12），电离电流的强度恰与辐射体的强度成正比。所以，所选择的强度越大，越容易解决該电流的增强問題，以利于測定。然而，辐射体的强度小，就可简化防护所需的設備，而且費用也較便宜。K.Д.皮斯曼尼克的計算表明，在 OHJ 仪器里，条子厚度（粗細）的变化範圍在±30%时，适当的辐射源强度值是 30 毫居里。这时，电离电流的强度在 $3 \times 10^{-10} \sim 6 \times 10^{-10}$ 安培的範圍內波动。

测定紡紗产品的厚度（粗細）时，大多数是在产品連續运动时采用放射性方法。可見，它的运动速度以及厚度的变化速度，对射到电离室的辐射强度的变化速度和电离电流的变化速度都有很大的影响。产品的任一片段在通过成形机构的時間內，由于通过該片段产品的 β -粒子的影响，致在电离室内产生的离子，必須到达阴極。

从[7]中可知，离子在电离室內的运动速度 v_n 等于：

$$v_n = E \frac{k}{p} \quad (17)$$

E ——电場强度（伏/厘米）；

k ——离子迁移率（厘米/秒）；

p ——电离室內的气体压力（大气压）。

在大气压下，阳离子迁移率是 1.36，阴离子是 1.87。

在一电离室的阳極上形成的离子，从阳極移向阴極所需的时间 t 等于：

$$t = \frac{l_n}{v_n} = \frac{l_n p}{E k} \quad (18)$$

l_n ——电离室內电極間的距离。

假如 U_k 为电离室内电极的电位差，则电场强度等于：

$$E = \frac{U_k}{l_k}$$

因此，

$$t = \frac{l_k^2 \rho}{k U_k} \quad (19)$$

为了使电离电流能与在該時間內通过成形机构的待測产品片段的厚度相符合，它的速度 U_a 应該等于：

$$U_a = \frac{l}{k_t t} = \frac{k U_k l}{k_t \rho l_k} \quad (20)$$

l ——在成形机构中， β -粒子通过待測产品的片段長度；

k ——保証系数。

假定条子經過輻射源附近所需的时间应为 $k_t t = 10 t$ ，則皮斯曼尼克[9a]的計算表明，条子速度小于或等于15米/分时，电离电流强度的变化将与条子在長为 l 片段的平均厚度(粗細)变化相符合(在 OHJI 仪器中 $l=2$ 厘米)。假如在条子速度較高时进行測定，則电离电流强度的变化也将同条子在較長片段里的平均厚度(粗細)变化相符合。

由于了解了与采用放射性方法測定連續运动的紡紗产品有关的基本問題，因此，就可指出它的下述一些优点：

1. 可对产品的單位長度重量进行无接触的測定，而用机械法測定厚度(粗細)时，只能对其体积进行測定。
2. 紡紗产品的回潮率与含杂率对測定厚度(粗細)精确度的影响要比采用电容法或其他方法时小得多。
3. 形成紡紗产品的纖維物質密度的变化，对測定結果几乎无影响。
4. 增强电离电流的技术与稳定机构的工作都比采用电容測定法簡單、容易。

輻射的統計特性，即輻射强度隨时间而波动，是这种厚度

(粗細)測定法的主要缺点。为使在測定时，誤差尽可能小，就应选择尽可能大的辐射源强度。产品越細、越薄，辐射源强度也就应越强。

下面我們來研究几个采用放射性方法測定厚度的例子。

2. 测定条子厚度及不匀率的仪器 (OHJI)

K.Д. 皮斯曼尼克与 C.C. 什維列夫 (中央棉紡織工业科学研究院) 根据上述采用放射性物質測定紗产品厚度 (粗細) 的方法，制成了条子不匀率測定仪 [8]。圖 9 表示仪器的示意圖。

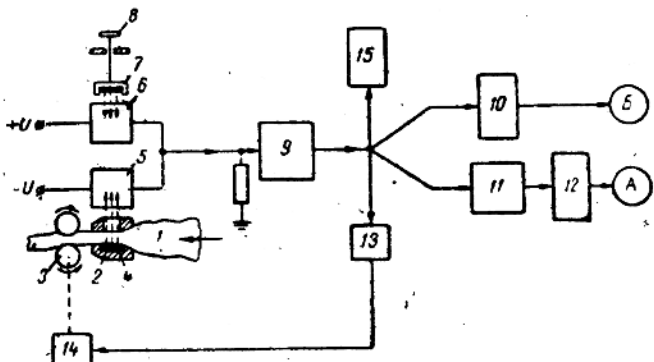


图 9 条子不匀率测定仪示意图

条子 1 借旋轉滾 3，不断經過成形机构 2。从放射源 4 發出的 β -粒子經過条子，其未被吸收的部分射到工作电离室 5。同时，从辐射源 7 射出的辐射綫进入补偿电离室 6。这部分辐射的强度大小，则由測微螺旋 8 按待測条子 1 片段的公称重量 G_0 来調节。补偿电路中的电流差值，随着不断运动的待測条子片段的重量变化而变化。此时，电測放大器 9 輸入处的电压，也要随着待測条子片段的重量 G 与等長片段的公称重量 G_0 的

差值的增加而增强(見等式9与10)。从[8、9]可知道，連續測定条子厚度时，它的离中差可按下式确定：

$$C = \frac{100 \sqrt{T \int_0^t (\Delta G)^2 dt - \left[\int_0^t (\Delta G) dt \right]^2}}{G_0 T + \int_0^t (\Delta G) dt} \quad (21)$$

由此可見，为了确定不匀率，必須把正比于 ΔG 的連續信号的函数的一次幂与二次幂进行积分。

第一次运算 $\int_0^t (\Delta G) dt$ ，由积分仪10来进行，在它的輸入处直接由放大器9施予电压。积分的结果由計數器E示出。

第二次运算 $\int_0^t (\Delta G)^2 dt$ ，由平方仪11与积分仪12来进行。积分結果由計發器A示出。

积分時間T，以及通过仪器的条子長度得到固定，并用時間繼电器13使仪器的計算部分与条子喂入机构的电动机14自动切断。

数值 G_0 由測微螺旋的位置来确定。

为了能清楚地了解条子厚度(粗細)的变化，可将正比于 ΔG 的信号直接由放大器傳至自動記錄仪15。从这个仪器中可得到条子不匀率的圖表。

在研究院进行該仪器的試驗表明，采用放射性方法測定条子的厚度(粗細)与称重法得到的結果相同。

目前，中央棉紡織科学研究院已根据条子不匀率測定仪，又制成了条子、粗紗、細紗不匀率的万能測定仪。采用带有專用放射性辐射源的迴轉式成形机构，就可試驗支数范围很广的紗产品。

美国的一个大学[10]也制造了一种試驗条子、粗紗、細紗不匀率的万能測定仪。其结构特点如下：